



دانشگاه الزهرا

دانشکده علوم پایه

پایان نامه

جهت اخذ درجه کارشناسی ارشد

رشته فیزیک

گرایش ماده چگال

ساخت و بررسی مشخصه‌های الکتریکی نانو کریستال YBCO

استاد راهنما

دکتر وحید دادمهر

استاد مشاور

دکتر فائزه فرزانه

دانشجو

مریم سعادتی

تیر ماه سال ۱۳۸۸

والاترین درسی که مسیر زندگی بشریت را تغییر داد، افکار و ایده‌های آن انسانی بود که نبوغش، او را از محیط متمایز می‌ساخت.

جبران خلیل جبران

The supreme teaching that changed the course of humanity was the ideas of a man whose genius separated him from his environment.

تقدیم به پدر و مادر عزیزم که شمع

وجودشان روشنای زندگیست

تقدیم به وجود پر از مهر همسرم.

This document was created with Win2PDF available at <http://www.daneprairie.com>.
The unregistered version of Win2PDF is for evaluation or non-commercial use only.

تشکر و قدردانی :

حمد و سپاس می گوییم آفریدگار توانا را

و بر خود لازم می دانم از کلیه افرادی که در انجام پایان نامه به اینجانب کمک نموده و نهایت همکاری را داشته‌اند تشکر و قدردانی نمایم.

۱- آقای دکترو حیدر دادمهر استاد محترم راهنما به خاطر راهنمائی های بسیار ارزشمند و مؤثرشان

۲- خانم دکتر فائزه فرزانه استاد محترم مشاور به خاطر مشاوره های مفیدشان

۳- خانم‌ها فاطمه صائب و سمیه فلاحتی به خاطر راهنماییهای موثرشان

۴- دوستان عزیزم خانم‌ها مهدیه هوائی و زهرا فرائی به خاطر همکاری صمیمانه در انجام آزمایشها

۵- آقای مهندس مهدیلو به خاطر نهایت همکاری در آنالیز SEM و XRD نمونه‌ها در
دانشکده مهندسی معدن و متالورژی دانشگاه امیرکبیر

۶- آقای مجید کاظمی به خاطر هماهنگی جهت استفاده از امکانات آزمایشگاه دانشکده فیزیک دانشگاه تهران

مریم سعادتی

دانشجوی کارشناسی ارشد فیزیک ماده چگال

تیر ماه ۱۳۸۸

چکیده

همزیستی نانو و ابررسانایی از جمله موضوعاتی است که امروزه بسیار مورد توجه است. از نانو و پودرهای ریز ابررسانای YBCO می‌توان در ساخت نوارهای ابررسانای بزرگ استفاده نمود که یک انقلاب تکنیکی را در تولید نوارهای ابررسانا ادعا می‌کند و نیز از آنها در ساخت سیمهای ابررسانا استفاده نمود. سیمهای ابررسانا ساخته شده از پودرهای سرامیکی میکرو مقیاس، انعطاف پذیری کمی دارند و بسیار شکننده هستند. بنابراین می‌توان با انتخاب روش مناسب و بهینه‌سازی پارامترهای موثر در ساخت ابررساناهای موفق به تولید پودرهای سرامیکی با مقیاس نانو، جهت ساخت سیمهای ابررسانا با کیفیت مطلوب‌تر گشت که انعطاف‌پذیری بیشتری نیز دارند.

در تحقیق حاضر نانو کریستال ابررسانا YBCO به شکل پودری به روش سل-ژل ساخته شد. آنالیز فازی نمونه‌ها با طیف اشعه X مورد بررسی قرار گرفت که نشان داد نمونه تک فاز و ارتورومبیک است. اندازه تک کریستال (ریز بلورک‌ها) نمونه‌های تهیه شده ۲۹-۳۵ نانومتر است.

ساختار کریستالی نمونه‌ها با استفاده از نرم افزار MAUD ظریف سازی شد. نتایج ظریفسازی حاکی از آن است که نمونه‌ها تطابق خوبی با نمونه مرجع دارند. میزان اکسیژن نمونه‌ها با استفاده از روش تیتراسیون یدی تعیین شد. ریزساختار و مورفولوژی با میکروسکوپ الکترونی مورد مطالعه قرار گرفت. تصاویر SEM کاهش تخلخل، افزایش سطح تماس دانه‌ها و افزایش اندازه دانه‌ها را با افزایش مدت زمان زینتر نشان می‌دهند. دمای گذار ابررسانا با استفاده از تکنیک اندازه گیری پذیرفتاری مغناطیسی AC ابررساناهای بالا

کلمات کلیدی:

نانو کریستال، ابررسانایی دمای بالا YBCO، سل-ژل، اثر زمان، فرآیند حرارتی.

فهرست مطالب

عنوان	شماره صفحه
-------	------------

چکیده
فهرست شکل‌ها
فهرست جداول

فصل اول : ابررسانایی و نانو

ابرزانایی

۱	تاریخچه ابررسانایی
۲	۱-۱- مفاهیمی از ابررسانایی
۳	۱-۱-۱- اثر مایسner
۴	۱-۱-۲- نظریه BCS
۵	۱-۱-۳- اثر جوزفسون
۶	۱-۱-۴- اثر ایزوتوپی
۷	۱-۱-۶- عمق نفوذ
۸	۱-۱-۷- طول همدوسی
۹	۱-۲- انواع ابررسانا
۱۰	۱-۲-۱- ابررسانای متعارف
۱۱	۱-۲-۲- ابررسانا دمای بالا
۱۲	۱-۲-۲-۱- الف- بررسی ساز و کار ابررسانایی دمای بالا

۱۳	۱-۲-۲-ب-میدان مغناطیسی بحرانی در ابرسانای دمای بالا
۱۴	۱-۲-۲-ج-گردابه‌ها
۱۶	۱-۲-۲-د-میخکوبی شار
۱۶	۱-۲-۳- مقایسه ابرساناهای دمای بالا و متعارف
۱۶	۱-۳-الف-تشابه‌ها
۱۷	۱-۳-ب-تفاوت‌ها
۱۸	۱-۳- ساختار بلوری
۱۸	۱-۳-۱- جامد بلوری
۱۹	۱-۳-۲- ساختار بلوری و ریز ساختار YBCO
۲۴	۱-۳-۳- اثرات ریز ساختاری
۲۴	۱-۳-۴- اثرات ریز ساختاری در YBCO

نانو

۲۸	۱-۴- نانو
۲۸	۱-۴-۱- تاریخچه نانو
۲۸	۱-۴-۲- نانو چیست؟
۲۹	۱-۴-۳- تعریف نانو فناوری
۲۹	۱-۴-۴- ویژگی‌های مقیاس نانو
۲۹	۱-۴-۵- تاثیر مقیاس نانو بر خواص مواد
۳۱	۱-۵- نانو مواد
۳۱	۱-۵-۱- نانو ذرات

۱-۵-۲-نano کریستال	۳۱
۱-۵-۳-نقاط کوانتومی	۳۲
۱-۶-روش‌های تولید nano مواد	۳۳
۱-۶-۱-روش‌های فاز بخار	۳۳
۱-۶-۱-الف-رسوب فیزیکی بخار(PVD)	۳۴
۱-۶-۱-ب-رسوب شیمیایی بخار(CVD)	۳۵
۱-۶-۱-ج-چگالش بخار شیمیایی(CVC)	۳۷
۱-۶-۱-د-چگالش گاز خنثی(IGC)	۳۷
۱-۶-۱-ه-روش ذوب در محیط فوق سرد	۳۸
۱-۶-۱-و-روش تخلیه قوس الکتریکی	۳۹
۱-۶-۱-ز-روش پیرولیز لیزر	۴۰
۱-۶-۱-ح-روش سیم انفجاری	۴۰
۱-۶-۲-روش‌های فاز جامد	۴۰
۱-۶-۲-الف-آلیاژسازی مکانیکی(روش خردایش مکانیکی)	۴۰
۱-۶-۲-ب-فرآیندهای شیمیایی-مکانیکی	۴۲
۱-۶-۳-روش‌های فاز محلول	۴۲
۱-۶-۳-الف-روش میکرومولسیون	۴۲
۱-۶-۳-ب-روش هیدرورترمال	۴۳
۱-۶-۳-ج-روش سونوکیمیکال	۴۵
۱-۶-۳-د-روش سل-ژل	۴۶
۱-۷-چرا روش‌های شیمیایی و چرا سل-ژل؟	۴۶

فصل دوم : ساخت و مشخصه‌یابی نانو کریستال YBCO

۴۷.....	مقدمه
۴۸.....	۲-۱-روش‌های ساخت ابررسانا دمای بالا
۴۹.....	۲-۲-روش کلوخه سازی
۵۰.....	۲-۲-۱-روش واکنش حالت جامد
۵۰.....	۲-۲-۲-روش واکنش در حالت محلول
۵۱.....	۲-۲-۲-الف-روش هم رسوبی
۵۱.....	۲-۲-۲-ب-روش خشک کردن سرد
۵۲.....	۲-۲-۲-ج-روش سل-ژل
۵۲.....	تعریف سل-ژل
۵۳.....	فرآیند سل-ژل
۵۳.....	۱-فرآیند سل-ژل در مسیر آلكوکسیدی
۵۴.....	مراحل فرآیند در مسیر آلكوکسیدی
۵۷.....	۲-فرآیند سل-ژل در مسیر کلوئیدی
۵۷.....	فرآیند سل-ژل در ساخت YBCO
۵۹.....	۱-مسیر آلكوکسیدی در ساخت YBCO
۵۹.....	۲-مسیر ترکیبی در ساخت YBCO
۶۰.....	۲-۲-تجهیزات و روش‌های مشخصه‌یابی
۶۱.....	۲-۲-۱-آنالیز حرارتی TA
۶۱.....	۲-۲-۱-الف-آنالیز حرارتی TGA
۶۲.....	۲-۲-۱-ب-آنالیز حرارتی DTA

۶۳.....	۱-۲-۲-ج-آنالیز حرارتی STA
۶۴.....	۲-۲-۲-مشخصه یابی توسط پراش پرتو ایکس
۶۵.....	۲-۲-۳-میکروسکوپ الکترونی
۶۶.....	۲-۲-۳-الف-میکروسکوپ الکترون رویشی (SEM)
۶۸.....	۲-۲-۳-ب-میکروسکوپ الکترونی عبوری (TEM)
۶۸.....	۲-۲-۴-اندازه‌گیری پذیرفتاری مغناطیسی در ابررسانا
۶۹.....	۲-۲-۴-الف-مواد دیامغناطیس
۶۹.....	۲-۲-۴-ب-اندازه‌گیری مشخصه‌های مغناطیسی مواد
۶۹.....	۲-۲-۴-ج-مغناطیس سنجی (AC Magntometry) AC
۷۱.....	۲-۲-۴-د-سیستم اندازه‌گیری پذیرفتاری AC ابررساناها.
۷۲.....	۲-۲-۴-۱-سیستم آنالیز AC Susceptometer
۷۵.....	۲-۲-۴-۲-میدان مغناطیسی اولیه
۷۵.....	۲-۲-۴-۳-اندازه‌گیری دما
۷۵.....	۲-۲-۴-۴-آمپلی فایر Lock-in
۷۷.....	۲-۲-۴-۵-ساخت نمونه‌های پودری نانو کریستال YBCO
۷۷.....	۲-۲-۴-۶-استوکیومتری و توزین
۸۰.....	۲-۲-۴-۷- محلول‌سازی
۸۱.....	۲-۲-۴-۸- تنظیم PH
۸۲.....	۲-۲-۴-۹- فرآیندهای حرارتی
۸۲.....	۲-۲-۴-۱۰-الف- مرحله فایرینگ
۸۴.....	۲-۲-۴-۱۱-ب- مرحله تکلیس

۸۵..... ۴-۳-۲-ج- مرحله قرص سازی

۸۶..... ۴-۳-۲-د- مرحله زینتر

فصل سوم: مشخصه‌یابی، نتایج و بحث

۹۲..... ۳-۱- تحلیل حرارتی

۹۴..... ۳-۲- نقش پراش اشعه X

۹۷..... ۳-۳- ظرفی‌سازی طیف پراش اشعه X

۱۰۰..... ۳-۴- اندازه‌گیری اکسیژن نمونه‌ها

۱۰۰..... ۳-۴-۱- روش تحلیل جرمی TGA

۱۰۰..... ۳-۴-۲- روش پارامتر شبکه C

۱۰۱..... ۳-۴-۳- روش یدومتری

۱۰۲..... جزئیات روش یدومتری

۱۰۴..... ۳-۵- تصاویر SEM نمونه‌های تهیه شده

۱۲۱..... ۳-۶- تحلیل داده‌های سیستم اندازه‌گیری پذیرفتاری مغناطیسی

۱۲۱..... ۳-۶-۱- دمای بحرانی

۱۲۱..... ۳-۶-۲- نتایج اندازه‌گیری پذیرفتاری مغناطیسی ac نمونه‌ها ساخته شده

۱۲۳..... ۳-۷- نتیجه‌گیری

۱۲۴..... ۳-۸- پیشنهاد ادامه کار

۱۲۵..... مراجع

..... Abstract

فهرست شکل‌ها

صفحه

عنوان شکل

فصل اول

شکل ۱-۱: طرد میدان مغناطیسی خارجی از داخل یک ماده ابررسانا (اثر مايسنر) ۳
شکل ۱-۲: برهمنکنش الکترون-الکترون از طریق ارتعاشات شبکه و تشکیل جفت کوپر ۴
شکل ۱-۳: وابستگی میدان مغناطیسی بحرانی به دما ۷
شکل ۱-۴: تغییرات مغناطش بر حسب میدان مغناطیسی اعمال شده برای a) ابررساناهای متعارف نوع I و b) ابررساناهای متعارف نوع II ۹
شکل ۱-۵: نمودار (H-T) برای ابررسانای نوع II و دمای بالا ۱۳
شکل ۱-۶: جریانهای پوششی در اطراف یک مغزی گردابه ۱۵
شکل ۱-۷: توزیع شبکه گردابی هگزاگونال در نمونه کامل ۱۵
شکل ۱-۸: ساختار $\text{YBa}_2\text{Cu}_3\text{O}_{7-\delta}$ ۲۰
شکل ۱-۹: لایه‌ها و نوارها مس در ساختار فاز ارتورمبیک YBCO ۲۱
شکل ۱-۱۰: پارامترهای شبکه در ساختار فاز ارتورمبیک YBCO ۲۲
شکل ۱-۱۱: شکل دو بعدی یک جامد نانو ساختار. اتم‌های سیاه اتم‌های درون دانه‌ها و اتم‌های سفید اتم‌های موجود در مرز دانه‌ها هستند ۳۲
شکل ۱-۱۲: اجزای مختلف و نحوه فرآیند اسپاتورینگ ۳۴
شکل ۱-۱۳: شماتیک روش چگالش بخار شیمیایی (CVD) ۳۵

شکل ۱-۱۴: روش ذوب تبریدی برای تولید نانو ذرات آلومینیوم [۱۸]	۳۸
و گاز آرگون	
شکل ۱-۱۵: شماتیکی از سیستم پیرولیز لیزر	۳۹
شکل ۱-۱۶: انواع آسیاب‌ها	۴۱

فصل دوم

شکل ۲-۱: تکنولوژی سل-ژل	۵۳
شکل ۲-۲: مراحل فرآیند سل ژل	۵۵
شکل ۲-۳: روش‌های مختلف فرآیند سل ژل	۵۸
شکل ۲-۴: منحنی DTA تیپیک	۶۲
شکل ۲-۵: میکروسکوپ الکترون روبشی مورد استفاده در تحقیق	۶۶
شکل ۲-۶: طرح کلی سیستم اندازه گیری پذیرفتاری AC	۷۲
شکل ۲-۷: پروب ساسپیتومتر AC	۷۳
شکل ۲-۸: آمپلی فایر in lock و نحوه اتصال آن به مدار	۷۶
شکل ۲-۹: کوره استوانه‌ای دیجیتال مورد استفاده برای کلوخه‌سازی	۸۷
شکل ۲-۱۰: نمودار فرآیند حرارتی زینتر برای نمونه ۱ و ۲	۸۸
شکل ۲-۱۱: نمودار فرآیند حرارتی زینتر برای نمونه ۳	۸۸
شکل ۲-۱۲: نمودار فرآیند حرارتی زینتر برای نمونه ۴ با زمان زینتر ۱ ساعت در 88°C	۸۹
شکل ۲-۱۳: نمودار فرآیند حرارتی زینتر برای نمونه ۴ با زمان زینتر ۳ ساعت در 88°C	۸۹
شکل ۲-۱۴: نمودار فرآیند حرارتی زینتر برای نمونه ۴ با زمان زینتر ۷ ساعت در 88°C	۹۰
شکل ۲-۱۵: نمودار فرآیند حرارتی زینتر برای نمونه ۴ با زمان زینتر ۱۰ ساعت در 88°C	۹۰
شکل ۲-۱۶: نمودار فرآیند حرارتی زینتر برای نمونه ۶ با زمان زینتر ۲ ساعت در 88°C	۹۱
شکل ۲-۱۷: نمودار فرآیند حرارتی زینتر برای نمونه ۶ با زمان زینتر ۸ ساعت در 88°C	۹۱

فصل سوم

- شکل ۳-۱: نمودار TGA-DTA مربوط به ترکیب YBCO آماده‌سازی شده به روش سل-ژل ۹۲
- شکل ۳-۲: طیف پراش اشعه X نمونه ۳، زینتر شده در 880°C به مدت ۵ ساعت ۹۶
- شکل ۳-۳: طیف پراش اشعه X نمونه ۶، زینتر شده در 880°C به مدت ۲ ساعت ۹۶
- شکل ۳-۴: طیف پراش اشعه X نمونه ۶، زینتر شده در 880°C به مدت ۵ ساعت ۹۶
- شکل ۳-۵: طیف پراش اشعه X نمونه ۶، زینتر شده در 880°C به مدت ۸ ساعت ۹۷
- شکل ۳-۶: تصاویر SEM نمونه ۱(پودر) بعد از فرآیند فایر با بزرگنمایی ۱۰۰۰ و ۲۰۰۰ ۱۰۴
- شکل ۳-۷: تصاویر SEM نمونه ۱(پودر) بعد از فرآیند کلسینه با بزرگنمایی مختلف ۱۰۵
- شکل ۳-۸: تصاویر SEM نمونه ۱(پودر) بعد از فرآیند زینتر در 930°C با بزرگنمایی ۱۰۰۰.۱۰۰۰ ۱۰۶
- شکل ۳-۹: تصویر SEM نمونه ۱(قرص) بعد از فرآیند زینتر در 930°C با بزرگنمایی ۵۰۰۰ ۱۰۶
- شکل ۳-۱۰: تصویر SEM نمونه ۲(پودر) بعد از فرآیند فایر با بزرگنمایی ۲۰۰۰ ۱۰۷
- شکل ۳-۱۱: تصاویر SEM نمونه ۲(پودر) بعد از فرآیند کلسینه با بزرگنمایی ۵۰۰۰ ۱۰۷
- شکل ۳-۱۲: تصاویر SEM نمونه ۲(پودر) بعد از فرآیند زینتر در 930°C با بزرگنمایی مختلف ۱۰۸
- شکل ۳-۱۳: تصویر SEM نمونه ۳ بعد از فرآیند فایر با بزرگنمایی ۲۰۰۰ ۱۰۹
- شکل ۳-۱۴: تصاویر SEM نمونه ۳ بعد از فرآیند زینتر در 880°C با بزرگنمایی مختلف ... ۱۰۹
- شکل ۳-۱۵: تصویر SEM نمونه ۴ بعد از فرآیند فایر با بزرگنمایی ۱۰۰۰ ۱۱۰
- شکل ۳-۱۶: تصاویر SEM نمونه ۴ بعد از ۱ ساعت زینتر در 880°C با بزرگنمایی مختلف . ۱۱۰
- شکل ۳-۱۷: تصاویر SEM نمونه ۴ بعد از ۳ ساعت زینتر در 880°C با بزرگنمایی مختلف ۱۱۱
- شکل ۳-۱۸: تصاویر SEM نمونه ۴ بعد از ۵ ساعت زینتر در 880°C با بزرگنمایی مختلف ۱۱۲
- شکل ۳-۱۹: تصاویر SEM نمونه ۴ بعد از ۷ ساعت زینتر در 880°C با بزرگنمایی مختلف ۱۱۳
- شکل ۳-۲۰: تصاویر SEM نمونه ۴ بعد از ۱۰ ساعت زینتر در 880°C با بزرگنمایی مختلف ۱۱۴

- شکل ۳-۲۱: تصویر SEM نمونه ۴ (قرص) بعد از ۵ ساعت زینتر در 880°C با
بزرگنمایی ۱۰۰۰ ۱۱۵
- شکل ۳-۲۲: تصویر SEM نمونه ۵ بعد از فرآیند فایر با بزرگنمایی ۵۰۰ ۱۱۵
- شکل ۳-۲۳: تصاویر SEM نمونه ۵ (سل با $\text{PH}=7$) بعد از ۵ ساعت زینتر
در 880°C با بزرگنمایی مختلف ۱۱۶
- شکل ۳-۲۴: تصاویر SEM نمونه ۶ بعد از ۲ ساعت زینتر در 880°C با بزرگنمایی مختلف ۱۱۷
- شکل ۳-۲۵: تصاویر SEM نمونه ۶ بعد از ۵ ساعت زینتر در 880°C با بزرگنمایی مختلف ۱۱۸
- شکل ۳-۲۶: تصاویر SEM نمونه ۶ بعد از ۸ ساعت زینتر در 880°C با بزرگنمایی مختلف ۱۱۹
- شکل ۳-۲۷: نمودار گذار ابررسانایی نمونه ۳ ۱۲۲

فهرست جداول

صفحه

عنوان جدول

فصل اول

جدول ۱-۱ تعدادی از ترکیبات ابررسانای دما بالا با مقادیر T_c تقریبی..... ۱۱

فصل دوم

جدول ۲-۱: مقادیر استوکیومتری شده مواد اولیه برای ساخت نمونه‌ها ۷۸ $\text{YBa}_2\text{Cu}_3\text{O}_{7-\delta}$

فصل سوم

جدول ۳-۱: زاویه، صفحه پراش اصلی و اندازه بلورک نمونه‌های ۳ و ۶ زینتر شده در 88.88°C ۹۵

جدول ۳-۲: مقایسه مشخصه‌های نمونه‌ها با نمونه مرجع ($\text{YBa}_2\text{Cu}_3\text{O}_7$) ۹۸

جدول ۳-۳: مقایسه پارامترهای شبکه کربستالی نمونه‌ها با نمونه مرجع ($\text{YBa}_2\text{Cu}_3\text{O}_7$) ۹۹

جدول ۳-۴: میزان اکسیژن نمونه‌ها با استفاده از روش یدومتری ۱۰۳

جدول ۳-۶: اندازه دانه‌ها ۱۲۰

تاریخچه ابررسانایی

ابررسانایی در سال ۱۹۱۱ در آزمایشگاه لیدن کشف شد. اچ. کامرلینگ اونس^۱ به هنگام مطالعه وابستگی دمایی مقاومت ویژه الکتریکی نمونه‌ای از جیوه، مشاهده کرد که در دمایی نزدیک $4K$ مقاومت به صفر سقوط می‌کند و در همه دماهای دسترس پذیر زیر $4K$ مقاومت دیگر قابل اندازه‌گیری نیست[۱]. نکته مهم اینکه با کاهش دما مقاومت ناگهان به صفر سقوط می‌کند نه بتدریج. آشکار بود که نمونه باید دستخوش گذاری به حالت جدیدی با مقاومت الکتریکی صفر شده باشد که در آن زمان ناشناخته بوده است. این پدیده را ابررسانایی نامیدند. مدت کوتاهی پس از کشف ابررسانایی در جیوه، این خاصیت در سایر فلزات مانند: قلع، سرب، ایندیم، آلومینیوم، نیوبیم و غیره یافت شد. همچنین معلوم شد که تعداد زیادی آلیاژ و ترکیبات بین فلزی نیز ابررسانا هستند.

در سال ۱۹۳۳، مایسнер^۲ و اوکسنفلد^۳ دریافتند که ابررسانا و رسانای کامل با یکدیگر تفاوت دارند. در دماهای پایین‌تر از دمای بحرانی ($T < T_C$) در حضور میدان مغناطیسی خارجی H ، اگر میدان مغناطیسی بحرانی ($H < H_C$) باشد، میدان درون ابررسانا همواره صفر است، یعنی طرد کامل شار مغناطیسی وجود دارد[۲]. این خاصیت مغناطیسی‌زدایی ابررساناهای به اثر مایسнер^۴ معروف است و این یعنی ابررسانا، دیامغناطیس کامل است.

کشف رفتار غیر عادی ظرفیت گرمایی در نزدیکی دمای گذار ابررسانایی و ارائه نظریه ترمودینامیکی گورتر- کایزمر^۵ در سال ۱۹۳۳ و نظریه الکترومغناطیسی برادران لندن در ۱۹۳۵ گام‌های بعدی در فهم و شناخت پدیده ابررسانایی بودند. از سال ۱۹۳۵ تا ۱۹۵۰ یک دوره رکود ۲۵ ساله به چشم می‌خورد و در طی این سالها هیچ کار عمده نظری یا تجربی در مورد ابررسانایی صورت نگرفت. تا اینکه در سال ۱۹۵۰ اثر مهم ایزوتوپ کشف شد که وابستگی دمای گذار را با جرم اتمی (فونون‌های شبکه) نشان می‌داد. با ارائه نظریه پدیده

¹ Kimberling ones

² Meissner

³ Ochsenfeld

⁴ Meissner effect

⁵ Gorter_Casimir

شناختی گینزبرگ-لانداؤ^۱ در ۱۹۵۰ و نظریه الکترودینامیک غیر موضعی پیپارد^۲ در ۱۹۵۳ اقدمهای مهمی در دستیابی به نظریه میکروسکوپی ابرسانایی برداشته شد. تا آنکه در سال ۱۹۵۷ نظریه مهم و استثنایی BCS توسط باردین-کوپر-شریفر^۳ ارائه داده شد[۳] ، که بر همکنش ضعیف بین الکترون‌ها و فونون‌ها را عامل جاذبه الکترون-الکترون و تشکیل زوج کوپر می‌دانست. جلوه دیگر ماهیت کوانتموی ابرسانایی، ابرسانندگی ضعیف است که اثر جوزفسون نیز خوانده می‌شود. در سال ۱۹۶۲ جوزفسون^۴ با تکیه بر پدیده تونل‌زنی در فیزیک هسته‌ای پی برد که دو ابرسانای مختلف میتوانند توسط ارتباط ضعیف به یکدیگر متصل شوند[۴]. برهمنش الکترون فونون مطرح شده در نظریه BCS امکان وجود ابرسانایی با دمای گذار بالاتر از K ۳۰ را رد می‌کرد. این موضوع با تمام مشاهدات تجربی ابرسانایی در ۱۹۸۶ ترکیبات فلزی، آلیاژها، بین فلزی و نیمه رساناها نیز تأیید می‌شد بطوریکه تا سال بالاترین دمای گذار مشاهده شده K ۲۳/۳ بود. تا اینکه در سال ۱۹۸۶ بدنورز^۵ و مولر^۶ ترکیباتی را مورد آزمایش قرار دادند که ساختار آنها از لایه‌های اکسید مس تشکیل می‌شد. این ترکیب La₂CuO₄ بود که گذار ابرسانایی در آن مشاهده نشده بود. اتفاق عجیبی رخ داده بود، چرا که ماده‌ای عایق در دمایی بالاتر از پیش‌بینی BCS تبدیل به ابرسانا می‌شد. آنها این‌گونه مواد را ابرساناها دمای بالا (دمای گذار بالاتر از K ۳۰) نامیدند[۵]. با توجه به دمای گذار ابرساناها به دو دسته متعارف و دمای بالا تقسیم می‌شوند. YBCO ابرسانای دمای بالا است، از این جهت در این تحقیق به ویژگیهای ابرسانای دمای بالا اشاره می‌شود.

¹ Kinzburg-landau

² Pippard

³ Bardeen-Cooper-schrieffer

⁴ Josephson

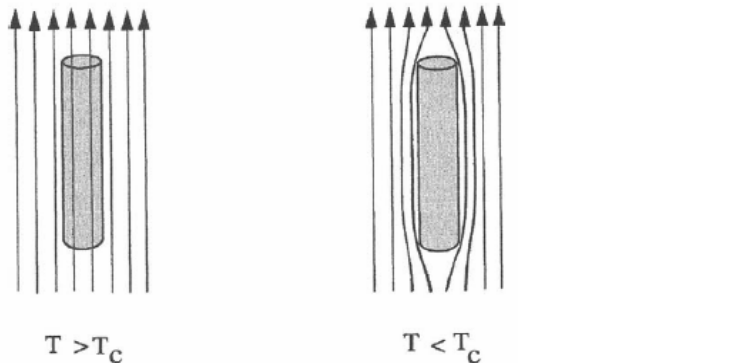
⁵ J. D. Bednorz

⁶ A. K. Muller

۱-۱- مفاهیمی از ابررسانایی

۱-۱-۱- اثر مایسner

در سال ۱۹۳۳، مایسner و اوکسنفلد دریافتند که ابررسانا، چیزی متفاوت از رسانای کامل است. آزمایشها نشان داد رسانای کامل بودن به تنها ی برای ابررسانا نامیدن یک جسم کافی نیست، بلکه جسم ابررسانا خصوصیت ویژه مهم و لازم دیگری دارد و آن دیامغناطیس کامل بودن آن است. به این معنی که اگر ماده در حضور میدان ($H < H_C$) تا حالت ابررسانش سرد ($T < T_C$) شود، شار از داخل آن طرد شده این اثر به طرد شار مغناطیسی یا اثر مایسner معروف است و این یعنی ابررسانا چنان رفتار می‌کند که گویی تراوایی آن صفر است یا پذیرفتاری دیامغناطیس کامل دارد [۶]. این آزمایشها همچنین نشان داد که صرفنظر از اینکه میدان در حالت ابررسانش اعمال شود یا اینکه در حالت بهنجار اعمال شود وسیس نمونه سرد شود، شار مغناطیسی از ابررسانا رانده می‌شود. بر خلاف رسانای کامل، گذار از حالت ابررسانشی به حالت بهنجار یک فرآیند کاملاً بازگشت‌پذیر است. خاصیت دیامغناطیس کامل بودن در ابررسانها نشان می‌دهد که ابررسانایی به معنای یک تغییر در حالت ترمودینامیکی سیستم است نه یک تغییر شدید در مقاومت الکتریکی. (شکل ۱)



شکل ۱: طرد میدان مغناطیسی خارجی از داخل یک ماده ابررسانا (اثر مایسner).

۲-۱-۱- نظریه BCS

در سال ۱۹۵۷ سه محقق به نامهای باردین، کوبر و شریفر نظریه‌ای موسوم به نظریه BCS را ارائه دادند که برهمکنش ضعیف بین الکترون‌ها و فونون‌ها را عامل جاذبه الکترون-الکترون